

## Zusammenfassung

- L.T. liefert Vorschrift so, dass  $c$  in allen Systemen gleich für  $v \ll c \rightarrow \gamma = 1$ : Galilei-Transf.
- Minkowski - Diagramm:

Ereignis  $(ct, \vec{x})$ , Weltlinie, Ereignishorizont

- In  $S$  erscheinen Koordinaten von  $S'$ ,  $x'$  und  $t'$ , geneigt.
- $t \neq t'$

### 4.2.2. Relativistische Effekte

#### 1) Zeitdilatation (Dehnung) $T = \gamma T'$

- Zeit  $T$  (aus Sicht von  $S$ ) ist verlängert gegenüber Zeit  $T'$  (aus Sicht von bewegtem System  $S'$ ).
- Diskussion: Myonen aus kosmischer Höhenstrahlung

#### 2) Längenkontraktion $L = \frac{1}{\gamma} L'$

- Abstand  $L$  (aus Sicht von  $S$ ) ist verkürzt gegenüber Abstand  $L'$  (aus Sicht von bewegtem System  $S'$ ).

#### 3) Addition von Geschwindigkeiten $\text{Fü: } \xleftarrow{u} \xrightarrow{v}$

$$\bullet u' = -\frac{u+v}{1 + \frac{u \cdot v}{c^2}}, \quad v, u', u \leq c$$

#### 4.) Relativistischer Doppler-Effekt

- Akustik:

$$v' = \frac{v}{\lambda'} = \frac{v}{(v-u)T} = v \cdot \frac{1}{1-u/v}$$

Schallgeschwindigkeit

Frequenz erhöht sich (bei Annäherung)

- Bei Licht: Quelle  $\xrightarrow{u}$  Beobachter

Q läuft auf B zu

B misst: N Wellenpulse in  $\Delta t_B$

Wellenlänge  $\lambda_B = \frac{c \Delta t_B - u \Delta t_B}{N} = \frac{(c-u)}{N} \cdot \Delta t_B$

Frequenz  $v_B = \frac{c}{\lambda_B} =$

Q misst:  $N = v_Q \cdot \Delta t_Q$

$N_Q = N_B = N$

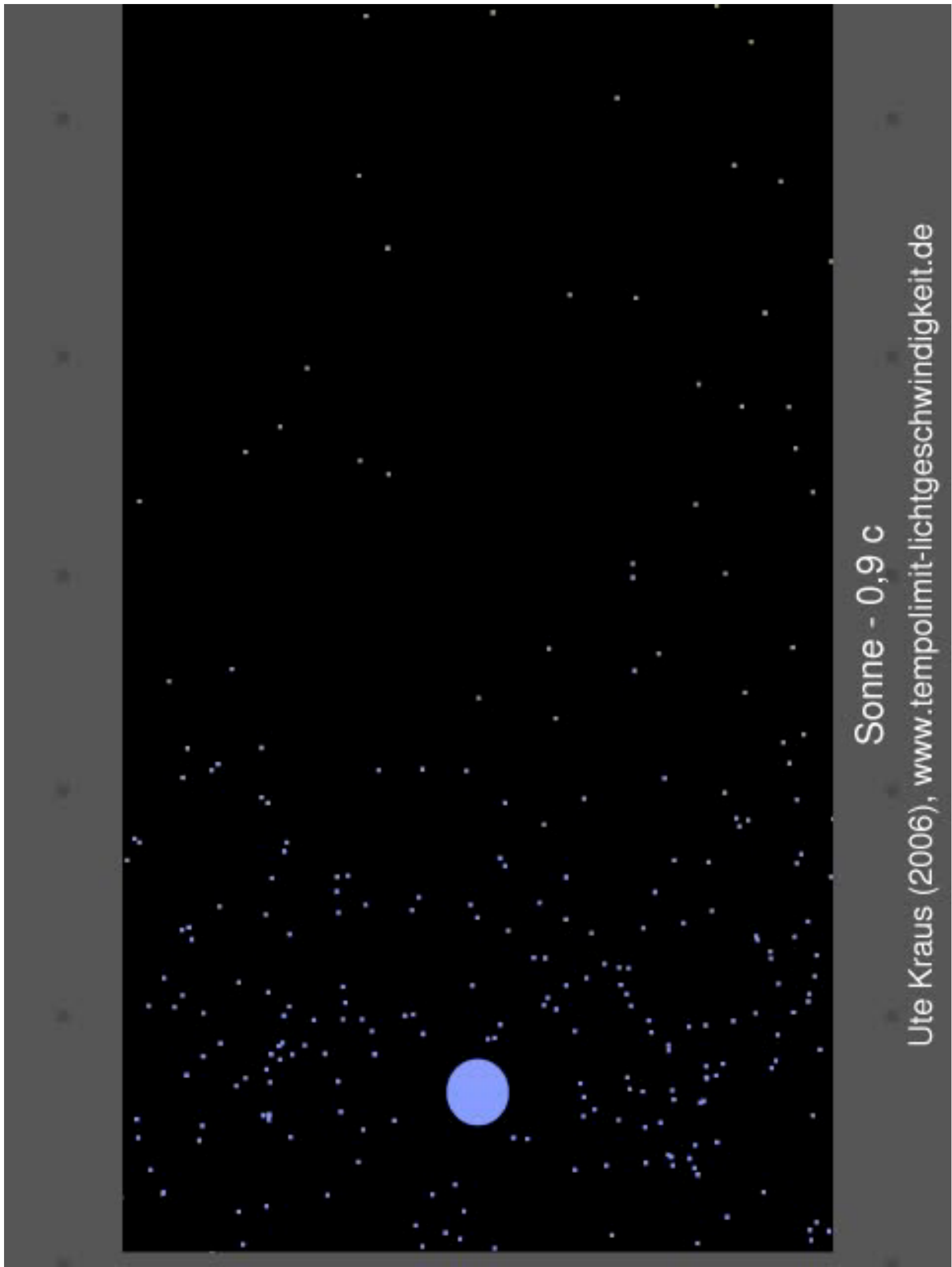
Zetdilatation:  $\Delta t_B = \gamma \cdot \Delta t_Q$

$$v_B = v_Q \sqrt{\frac{1+u/c}{1-u/c}}$$

Frequenz erhöht sich (bei Annäherung)

$\Rightarrow$  "Rotverschiebung" bei Entfernung

# Relativistischer Dopplereffekt



Sonne - 0,9 c

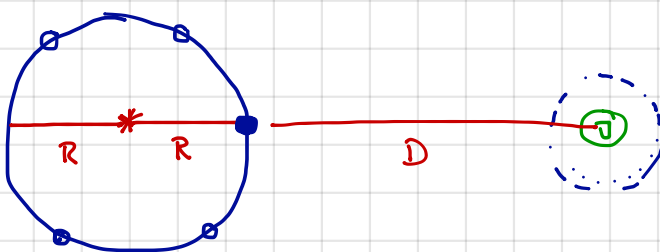
Ute Kraus (2006), [www.tempolimit-lichtgeschwindigkeit.de](http://www.tempolimit-lichtgeschwindigkeit.de)

Bewegte Lichtquelle ändert Farbe und Intensität  
(Blauverschiebung bei Annäherung, Rotverschiebung bei Entfernung)

### 4.2.3 Bestimmung von $c$

- Historisch, kontrovers 1. Messung: O. Römer 1675

Allgemeine Annahme:  $c = \infty$



Zeitpunkte der Abdeckung eines Jupitersmondes

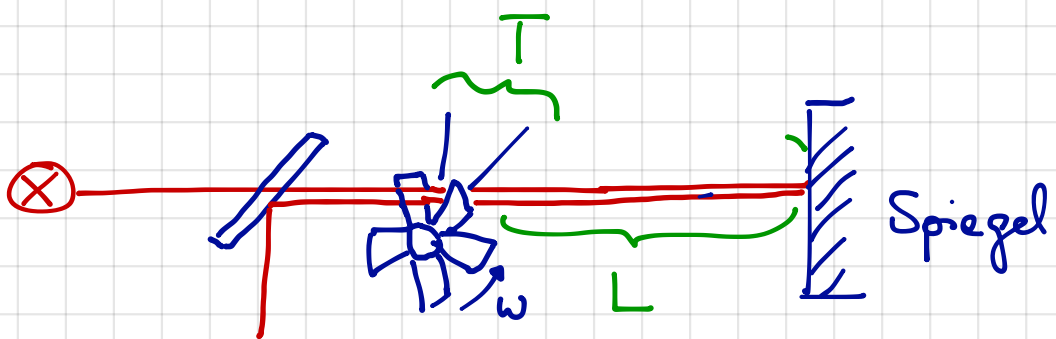
Messungen zu verschiedenen Jahreszeiten:

Beobachtung:  $\Delta t = 15 \text{ min}$

$$\frac{2R}{\Delta t} = c = \frac{3 \cdot 10^8 \text{ km}}{10^3 \text{ s}} = 3 \cdot 10^8 \frac{\text{m}}{\text{s}}$$

$$\text{Römer: } c \approx 200\,000 \frac{\text{km}}{\text{s}} < \infty$$

- Genaue Bestimmung: Fizeau 1849:



Bestimme Drehzahl, bei der zurückgespiegeltes Licht gerade vollständig vom nächsten Zahn abgedeckt wird:

$$\text{Bei } N \text{ Zähnen und Drehzahl } \omega \quad 2NT = \frac{2\pi}{\omega} = \frac{1}{f_z} \quad c = \frac{2L}{T}$$

Fizeau :  $N = 720$  Zahne

$$T = \frac{1}{f_e \cdot 1440} = 5,5 \cdot 10^{-5} \text{ s}$$

$$f_e = 12,6 \text{ Hz}$$

$$L = 2 \cdot 8,633 \text{ km}$$

$$c = L/T = 3,15 \cdot 10^8 \frac{\text{m}}{\text{s}}$$

- Moderne Methoden zur Messung der Lichtgeschwindigkeit

- Interferometrie mit Laser

⇒ größte Unsicherheit: Längenbestimmung

- heute:  
(seit 1983)  $c = 299792458 \frac{\text{m}}{\text{s}}$  Definition

$$c \propto L \cdot v$$

↑      ↑  
präzise messbar  
eher ungenau .

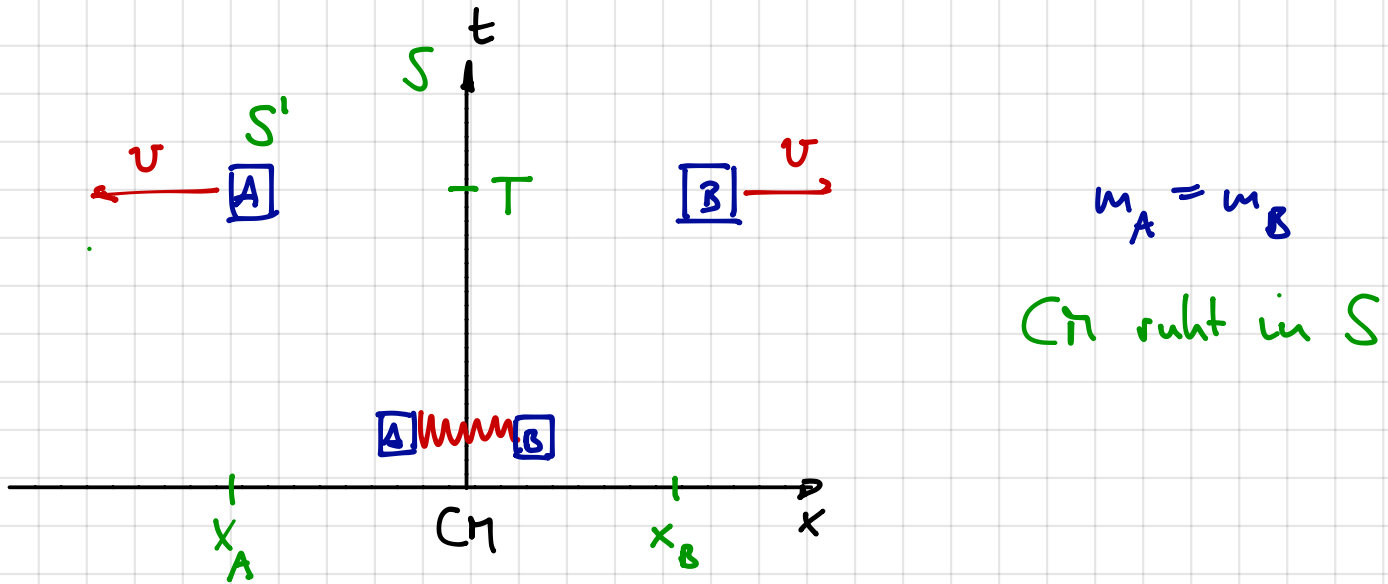
⇒ Festlegung von  $c \Rightarrow$  Präzision der Frequenzmessung  
auch für Längenmessung  
verfügbar.

## 4.3. Relativistische Dynamik

### 4.3.1 Masse, Impuls, Kraft, Energie

#### 1. Masse

Elastischer Stoß:  $S(t=0) = S'(t'=0)$



$$m_A = m_B$$

$CM$  ruht in  $S$

Betrachtung von A aus:

- $S$  bewegt sich mit  $v$  nach rechts
- $B$  bewegt sich mit  $\omega = \frac{v+v}{1+\frac{v \cdot v}{c^2}} = \frac{2v}{1+\frac{v^2}{c^2}}$  nach rechts
- Nach  $T = \Delta t_A$  hat sich  $S$  um  $T \cdot v$  entfernt
- Nach  $T = \Delta t_A$  hat sich  $B$  um  $T \cdot \omega$  entfernt,  $\omega < 2v$

↳ Schwerpunkt nicht mehr in der Mitte zwischen A und B?

↳ Ausgleich: Masse von B vergrößert sich,  $m_B' > m_B$ , dann kann Masse  $\times$  Abstand konstant bleiben.

Berechne Schwerpunkt ((n)) aus Sicht von A:

$$CM: -m_A \underbrace{\cdot v \cdot T}_{\overline{AS}} + m_B' \cdot \underbrace{(w-v)T}_{\overline{SB}} = 0$$

$$\Rightarrow m_B' = m_A \cdot \frac{v}{w-v}$$

$$\begin{aligned} &= m_A \cdot \frac{v}{\frac{2v}{1+v^2/c^2} - v} = \frac{v}{\frac{c^2(2v - v(1+v^2/c^2))}{c^2(1+v^2/c^2)}} \\ &= m_A \cdot \frac{c^2 + v^2}{c^2 - v^2} \\ &= m_A \cdot \sqrt{\frac{(c^2 + v^2)^2}{c^4 + 2c^2v^2 + v^4 - 4c^2v^2}} \end{aligned}$$

$$\text{Mit } \omega = \frac{2vc^2}{c^2 + v^2} \Rightarrow 4v^2c^2 = \omega^2/c^2 (c^2 + v^2)^2$$

$$= m_A \cdot \sqrt{\frac{1}{1 - \frac{\omega^2}{c^2}}}$$

$$= m_A \cdot \gamma$$

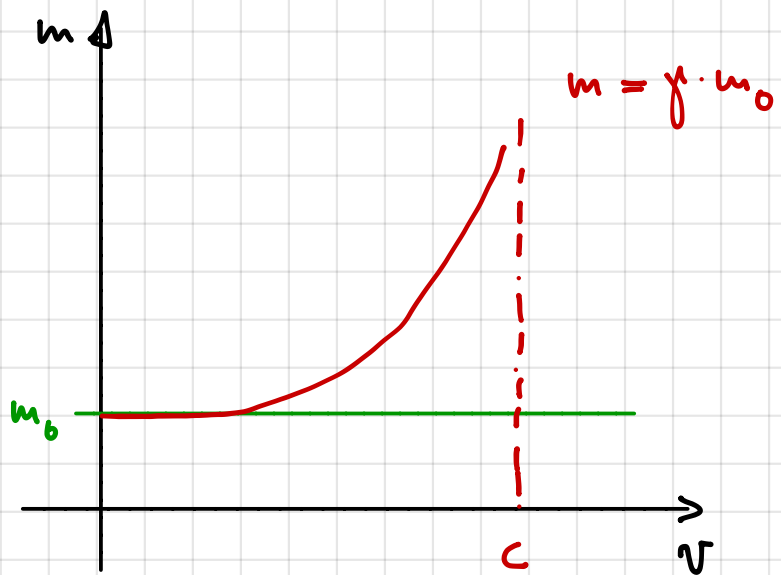
$$= m_B \cdot \gamma$$

$m_A = m_B$   
nach Voraussetzung

$$m = \gamma m_0$$

$m_0$ : Ruhemasse

$m$ : Masse von bewegtem System



Anwendung am Teilchen beschleunigen:

Beispiel LEP (CERN 1990-2000)

$$\text{Elektronen : } m_0 = 5 \cdot 10^5 \text{ eV}$$

$$m = 100 \text{ GeV}$$

$$\gamma = 200000$$

## 2. Impuls

$$P = m \cdot v \rightarrow \boxed{P = \gamma m_0 v} = m(v) \cdot v$$

$$P \rightarrow \infty \text{ für } v \rightarrow c$$

### 3. Kraft

$$\vec{F} = \frac{d\vec{p}}{dt} = \frac{d(\gamma m_0 \vec{v})}{dt} = \frac{d}{dt} \left( \frac{m_0 \vec{v}}{\sqrt{1 - v^2/c^2}} \right) = \frac{d}{dt} \left( \frac{m_0}{\sqrt{1 - v^2/c^2}} \right) \vec{v} + \frac{m_0}{\sqrt{1 - v^2/c^2}} \cdot \vec{a}$$

$$= \gamma^3 \cdot m_0 \cdot a \cdot \left( \frac{v^2}{c^2} \hat{e}_r + \frac{1}{\gamma^2} \cdot \hat{e}_a \right)$$

### 4. Energie

$$E_{kin} = \int \vec{F} d\vec{s} = \int \frac{dp}{dt} ds$$

$$= \int_0^v v dp$$

$$= \int_0^v v d \left( \frac{m_0 v}{\sqrt{1 - v^2/c^2}} \right)$$

hier:  $\vec{F} \parallel d\vec{s}$   
 $\vec{v} \parallel ds$

$$\frac{d}{dv} \left( \frac{m_0 v}{\sqrt{1 - v^2/c^2}} \right) \text{ bilden, } m_0 = \text{const.}$$

$$= \int_0^v v m_0 \left( 1 - \frac{v^2}{c^2} \right)^{-3/2} dv$$

$$= m_0 c^2 \underbrace{\left( \frac{1}{\sqrt{1 - v^2/c^2}} - 1 \right)}_{\gamma}$$

$$E_{kin} = m_0 c^2 (\gamma - 1) = \underbrace{m_0 c^2 \gamma}_{\text{Gesamtenergie}} - \underbrace{m_0 c^2}_{\text{Ruhenergie}}$$

( $v$ -abhängig)

## Gesamtenergie

$$E = \gamma m_0 c^2 = m c^2 = E_{KIN} + m_0 c^2$$

Klassischer Grenzfall:

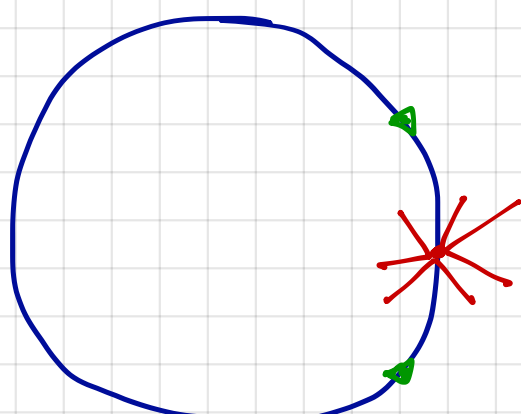
$$\text{Für } v \ll c : \gamma \approx 1 + \frac{1}{2} \frac{v^2}{c^2}$$

$$(1 \pm x)^n = 1 \pm nx + \dots$$

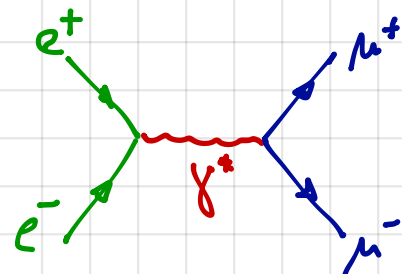
Binomische Reihe

$$\begin{aligned} E_K &= m_0 c^2 (\gamma - 1) \\ &= \frac{m_0 c^2}{2} \cdot \frac{v^2}{c^2} \\ &= \frac{1}{2} m_0 v^2 \end{aligned}$$

Anwendung: Umwandlung von kinetischer Energie in Masse



Nette Teilchen aus Energie



$$E = \gamma m_0 c^2$$

$$E^2 = \gamma^2 m_0^2 c^4 = \frac{m_0^2 c^2 (v^2 - v^2 + c^2)}{1 - v^2/c^2}$$

$$= p^2 c^2 + \frac{m_0^2 c^4 (1 - v^2/c^2)}{1 - v^2/c^2}$$

$$= p^2 c^2 + m_0^2 c^4$$

$$m_0^2 c^4 = \underbrace{E^2 - p^2 c^2}_{\text{Lorentz-invariant}}$$

Lorentz-invariant, d.h. ändert sich nicht unter Lorentz-Transformation

### 4.3.2. 4-Vektoren u. Lorentzinvariant

4-Vektor:  $x = x_\mu = (x_0, \vec{x}) = (x_0, x_1, x_2, x_3)$

3 Komponenten  
4 Komponenten

mit  $x_0 = ct$   
 $\vec{x} = (x_1, x_2, x_3)$

Lorentztransformation:

$$x'_1 = \gamma (x_1 - vt)$$

$$x'_2 = x_2$$

$$x'_3 = x_3$$

$$t' = \gamma \left( t - \frac{vx_1}{c^2} \right) \rightarrow ct' = \gamma \cdot \left( ct - \frac{v}{c} x_1 \right)$$

$= \beta$

$$x^i = x'_\mu = L \cdot x_\mu$$

$$\beta = \frac{v}{c}$$

"Zeile mal Spalte"

$$\begin{pmatrix} ct' \\ x'_1 \\ x'_2 \\ x'_3 \end{pmatrix} = \begin{pmatrix} \gamma & -\beta & 0 & 0 \\ -\beta & \gamma & 0 & 0 \\ 0 & 0 & 1 & 0 \\ 0 & 0 & 0 & 1 \end{pmatrix} \begin{pmatrix} ct \\ x_1 \\ x_2 \\ x_3 \end{pmatrix} = \begin{pmatrix} \gamma ct - \gamma \beta x_1 \\ -\gamma \beta ct + \gamma x_1 \\ x_2 \\ x_3 \end{pmatrix}$$

### Lorentzinvarianz:

$$x'^2 = c^2 t'^2 - |\vec{x}'|^2 = c^2 t^2 - |\vec{x}|^2$$

$$= c^2 t'^2 - (x_1'^2 + x_2'^2 + x_3'^2) \\ = x_2^2 + x_3^2, \text{ da } x'_1 = x_1 \text{ u. } x'_2 = x_2$$

... (Einsetzen der L.T. für  $ct'$  und  $x'_1$ )

$$= c^2 t^2 - |\vec{x}|^2$$

### 4-Impuls

$$p = (\frac{E}{c}, \vec{p})$$

4-Impuls

$$p^2 = \frac{E^2}{c^2} - |\vec{p}|^2$$

Minuszeichen

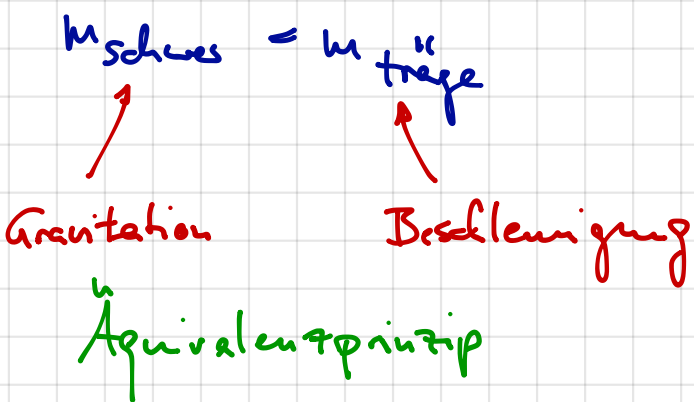
"Minkowski-Metrik"

Vierer-Abstand  
ist Lorentzinvariant

analog zu Längeninv.  
von 3-Vektoren bei  
Galilei-Transformationen

### 4.3.3. Kurzer Überblick: Allg. Relativitätstheorie

Ausgangspunkt:

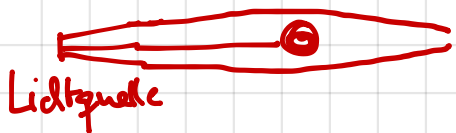


Homogenes Schwerkraftfeld  
(Kann nur lokal homogen sein)  $\rightarrow$  Transformation in Inertialsystem  
durch passende Beschleunigung

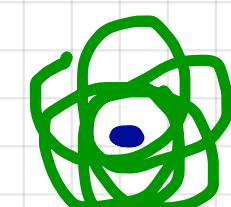
Globel: Krümmung der Raum-Zeit durch Masse

Konsequenzen: (Experimentell bestätigt)

- Lichtablenkung im Gravitationsfeld



- Rotverschiebung  
Wls im Gravitationsfeld  
 $\Rightarrow$  beschleunigt  $\rightarrow$  Zeitdilatation  
 $\Rightarrow \nu' < \nu$

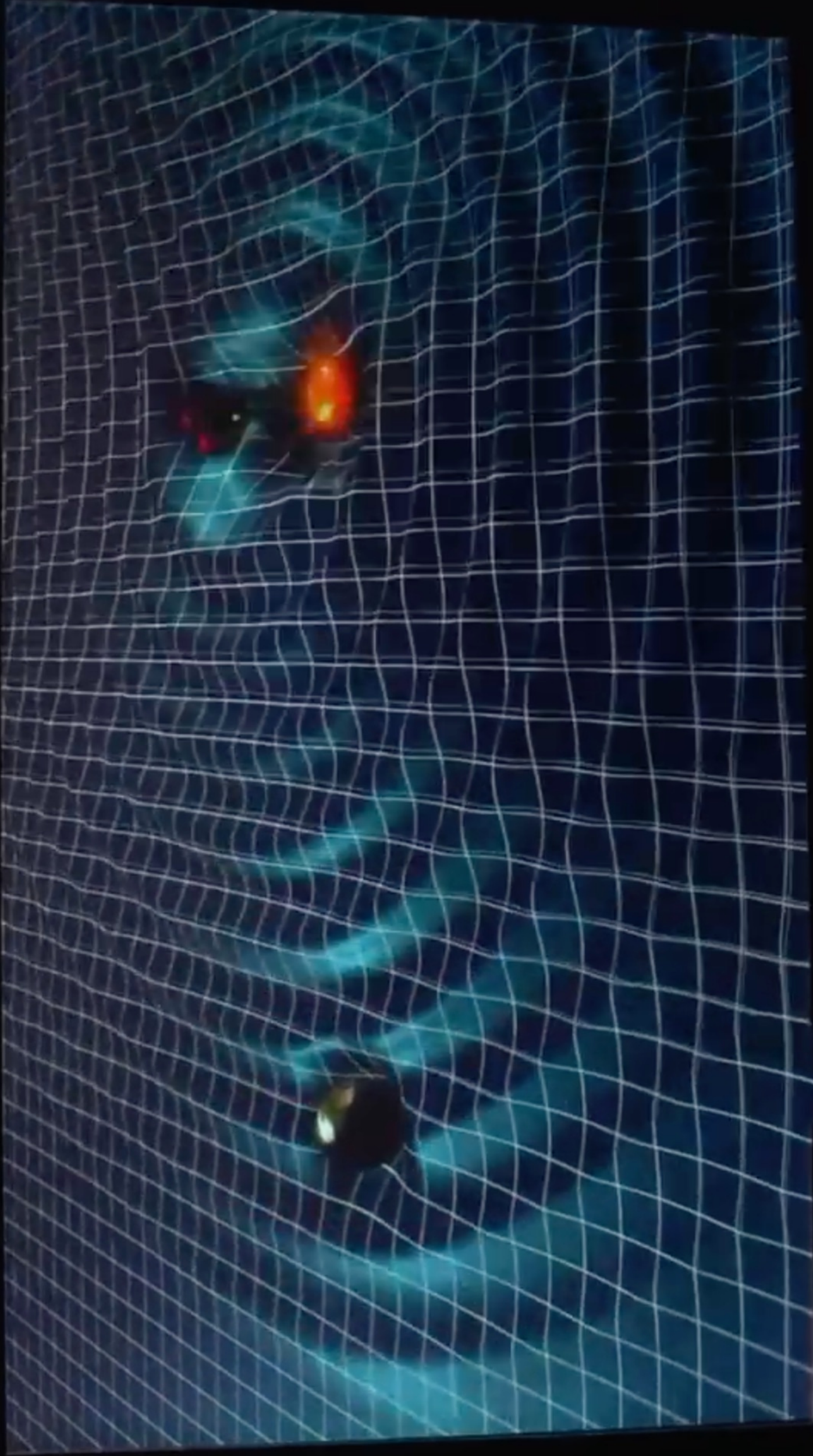


- Periheldrehung des Merkur

- Gravitationswellen

(LIGO-Experiment 2016)

<https://www.ligo.caltech.edu>



2016: Nachweis von Gravitationswellen am LIGO Experiment: <https://www.ligo.caltech.edu/>

[https://www.youtube.com/watch?v=s06\\_jRK939I](https://www.youtube.com/watch?v=s06_jRK939I)